



## کنترل مستقیم توان مبدل‌های PWM سه فاز مجهز به فیلتر LCL

محمد منفرد<sup>(۱)</sup> سید محسن صدر<sup>(۲)</sup> حسن رستگار<sup>(۳)</sup> حسین مددی کجا آبادی<sup>(۴)</sup>

(۱) گروه برق، دانشکده مهندسی، دانشگاه فردوسی مشهد، ایران

(۲) شرکت برق منطقه‌ای خراسان

(۳) دانشکده مهندسی برق، دانشگاه صنعتی امیرکبیر تهران، ایران

(۴) دانشکده مهندسی برق، دانشگاه صنعتی سپهند، ایران

واژه‌های کلیدی: کنترل مستقیم توان، فیلتر LCL، کیفیت توان

### ۱- مقدمه

در چند سال اخیر گرایش به تحقیق در زمینه مبدل‌های PWM سه فاز متصل به شبکه بگونه فراینده‌ای گسترش یافته است که این امر ناشی از مزایای مهم اینگونه مبدلها نظیر قابلیت بازتولید توان، کنترل ولتاژ لینک DC، اعوجاج هارمونیکی ناچیز جریان‌های AC، کنترل دو سویه توانهای اکتیو و راکتیو، ظرفیت خازنی کوچک لینک DC و ضریب قدرت بالا می‌باشد. لذا امروزه عموماً عناصر تولید پراکنده همچون توربین‌های بادی دور متغیر، میکرو توربین‌ها و ... بوسیله همین مبدل‌های PWM سه فاز به بار محلی و یا شبکه‌های قدرت متصل می‌شوند. در کاربرد مبدل‌های متصل به عناصر تولید پراکنده عموماً مسئله اساسی، کنترل سیلان توان‌های اکتیو و راکتیو بین منبع تولید پراکنده و مصرف کننده/شبکه است. استراتژی‌های کنترلی مختلفی برای اینگونه مبدل‌ها پیشنهاد شده است. کنترل مبتنی بر ولتاژ (VOC)<sup>۳</sup> که بوسیله حلقه‌های کنترل جریان داخلی پاسخهای حالت ماندگار و دینامیکی مناسبی را فراهم می‌نماید،

### چکیده

این مقاله یک استراتژی جدید مبتنی بر مدل به منظور کنترل مستقیم توان(DPC)<sup>۱</sup> مبدل‌های مدولاسیون عرض پالس(PWM)<sup>۲</sup> سه فاز معرفی می‌نماید. در مقاله دیگری نویسنده‌گان، این روش مبتنی بر مدل را برای کنترل مستقیم توان مبدل PWM که از طریق فیلتر خروجی سلفی(L) به شبکه متصل شده است را ارائه نموده اند. در این مقاله، بوسیله یک شیوه مشابه، روش کنترل مستقیم توان پیشنهادی برای مبدل‌های سه فاز با فیلتر خروجی LCL اصلاح شده است. استفاده از فیلتر LCL بجای فیلتر ساده L به لحاظ بهبود کیفیت توان، اهمیت قابل ملاحظه‌ای دارد. درواقع، استفاده از فیلتر مرتبه سوم LCL، کاهش اعوجاج هارمونیکی در فرکانس‌های کلیدزنی پائین‌تر را میسر می‌سازد که امتیاز قابل توجهی در کاربردهای توان بالا با مقادیر اندوکتانس کل کوچکتر می‌باشد. عملکرد سیستم پیشنهادی به وسیله نتایج شبیه‌سازی تایید شده است.

## بیست و پنجمین کنفرانس بین‌المللی برق

سازی نمی‌باشد زیرا طیف فرکانسی هارمونیک کلیدزنی گسترده بوده و به علت فرکانس کلیدزنی متغیر، بصورت شفاف تعریف نمی‌شود. یک راه حل دیگر برای شیوه VOC روشهای تضعیف اکتیو می‌باشد که بسیار مورد توجه نیز بوده‌اند [۱۰-۱۱]. از آنجائیکه در روش DPC حالت‌های کلیدزنی توسط یک جدول کلیدزنی انتخاب می‌گردد نه از طریق حلقه کنترل جریان PWM، لذا روشهای تضعیف اکتیو در مورد DPC کارایی ندارند.

در این کار تحقیقاتی، یک استراتژی مبتنی بر مدل برای کنترل مستقیم توان مبدل‌های PWM سه فاز ارائه شده است. در روش پیشنهادی جدول کلیدزنی و مقایسه‌گرهای هیسترزیس با مدولاتور ولتاژ PWM با فرکانس کلیدزنی ثابت جایگزین شده‌اند. ولتاژ مورد نیاز مبدل در هر پریود نمونه برداری تنها بر پایه مقادیر مرجع و اندازه گیری شده توانهای اکتیو و راکتیو، پارامترهای سیستم و ولتاژ اندازه گیری شده منبع AC مستقیماً محاسبه می‌گردد. سپس مدولاتور PWM ولتاژ مرجع را تولید کرده و پالسهای کلیدزنی را برای مبدل منبع ولتاژ فراهم می‌سازد. نویسنده‌گان پیشتر این استراتژی کنترل مبتنی بر مدل را برای کنترل مستقیم توان مبدل‌های PWM سه فاز که از طریق یک فیلتر سلفی به شبکه متصل می‌گردند ارائه نموده‌اند که عملکرد مناسبتری را نسبت به VOC و تکنیکهای مرسوم DPC نشان داده است [۱۲]. در این کار تحقیقاتی، با شیوه‌ای منتظر، روش کنترل مستقیم توان پیشنهادی برای مبدل‌های سه فاز با فیلتر خروجی LCL تطبیق داده شده است. امکان استفاده از فیلتر LCL بهمراه فرکانس کلیدزنی ثابت، روش کنترل مستقیم توان پیشنهادی را به لحاظ الزامات کیفیت توان، بسیار مطلوب کرده است.

### ۲- کنترل مستقیم توان پیشنهادی برای مبدل‌های دارای فیلتر خروجی LCL

بلوک دیاگرام سیستم کنترل مستقیم توان پیشنهادی با فیلتر خروجی LCL در شکل (۱) نمایش داده شده است.

تصورت گسترده مورد استفاده قرار گرفته است. اشکال عمده چنین سیستمی این است که عملکرد آن شدیداً وابسته به استراتژی کنترل جریان و شرایط شبکه AC متصل به آن می‌باشد [۱]. استراتژی کنترلی جدیدی به نام کنترل مستقیم توان DPC که بر اساس کنترل مستقیم مقادیر لحظه‌ای توان‌های اکتیو و راکتیو می‌باشد، در چند سال اخیر به دلیل امتیازاتی چون عملکرد دینامیکی سریع و پیاده سازی ساده مورد بهره‌برداری قرار گرفته است. در DPC حلقه‌های کنترل جریان داخلی و بلوک مدولاتور PWM حذف شده‌اند، زیرا حالت‌های کلیدزنی مبدل بصورت مطلوبی توسط یک جدول کلیدزنی و بر اساس خطای لحظه‌ای میان مقادیر مرجع و اندازه گیری شده توان‌های اکتیو و راکتیو انتخاب می‌گردد. از سوی دیگر برخی معایب شناخته شده روش کنترل مستقیم توان عبارتند از فرکانس کلیدزنی متغیر (دشواری‌های طراحی مبدل و فیلتر) و برخی مشکلات ناشی از بهره زیاد کنترلرهای هیسترزیس مورد استفاده در این روش [۲-۶]. با این وجود DPC متداول که بر اساس جدول کلیدزنی است مورد توجه بوده و بطور گسترده‌ای مورد استفاده قرار گرفته است، لیکن تنها سلفهای AC ساده به عنوان فیلتر میان مبدل و شبکه به کار برده شده است. به منظور دستیابی به کارایی هارمونیکی قابل قبول، اندازه سلف AC می‌بایست بسیار بزرگ انتخاب گردد، که این امر سبب افزایش قیمت، حجم و عملکرد ضعیف دینامیکی گشته، افزایش تلفات را نیز به دنبال دارد. در مقابل استفاده از فیلتر مرتبه سوم LCL، کاهش اعوجاج هارمونیکی در فرکانس‌های کلیدزنی پائین‌تر را میسر می‌سازد که امتیاز قابل توجهی در کاربردهای توان بالا با مقادیر اندوکتانس کل کوچکتر می‌باشد [۷-۹]. از سوی دیگر فیلتر LCL ممکن است باعث بروز اعوجاج گذرا یا حالت ماندگار جریان AC به سبب رزونانس و مشکلات پایداری برای سیستم کنترل شود. احتمال بروز رزونانس در مبدل‌های PWM کنترل شده با VOC در شرایطی که فرکانس رزونانس اصلی در محدوده فرکانسی که هارمونیکهای جریان AC وجود نداشته باشند انتخاب گردد، کاهش یافته لیکن بطور کامل برطرف نمی‌شود [۷-۹]. متأسفانه این راه حل در مورد روش DPC قابل پیاده

## بیست و پنجمین کنفرانس بین‌المللی برق

$$\frac{d}{dt}v_{cd} - \omega v_{cq} = \frac{1}{C} [i_{1d} - i_{2d}] \quad (6)$$

$$\frac{d}{dt}v_{cq} + \omega v_{cd} = \frac{1}{C} [i_{1q} - i_{2q}] \quad (7)$$

$$\frac{d}{dt}i_{2d} - \omega i_{2q} = \frac{1}{L_2} [-R_2 i_{2d} + v_{cd} - v_d] \quad (8)$$

$$\frac{d}{dt}i_{2q} + \omega i_{2d} = \frac{1}{L_2} [-R_2 i_{2q} + v_{cq} - v_q] \quad (9)$$

این معادلات نشان می‌دهند که اجزای d و q جریان‌ها و ولتاژ خازن به وسیله عبارت‌های تزویج متقابل به یکدیگر واپسیته‌اند. با فرض پریود نمونه برداری کوچک ( $T_{sp}$ ) معادلات (۴) تا (۹) را می‌توان به فرم گسسته تبدیل نمود.

$$i_{1d}(k+1) = \frac{T_{sp}}{L_1} [-R_1 i_{1d}(k) + v_{sd}(k) - v_{cd}(k)] + T_{sp} \omega i_{1q}(k) + i_{1d}(k) \quad (10)$$

$$i_{1q}(k+1) = \frac{T_{sp}}{L_1} [-R_1 i_{1q}(k) + v_{sq}(k) - v_{cq}(k)] - T_{sp} \omega i_{1d}(k) + i_{1q}(k) \quad (11)$$

$$v_{cd}(k+1) = \frac{T_{sp}}{C} [i_{1d}(k) - i_{2d}(k)] + T_{sp} \omega v_{cq}(k) + v_{cd}(k) \quad (12)$$

$$v_{cq}(k+1) = \frac{T_{sp}}{C} [i_{1q}(k) - i_{2q}(k)] - T_{sp} \omega v_{cd}(k) + v_{cq}(k) \quad (13)$$

$$i_{2d}(k+1) = \frac{T_{sp}}{L_2} [-R_2 i_{2d}(k) + v_{cd}(k) - v_d(k)] + T_{sp} \omega i_{2q}(k) + i_{2d}(k) \quad (14)$$

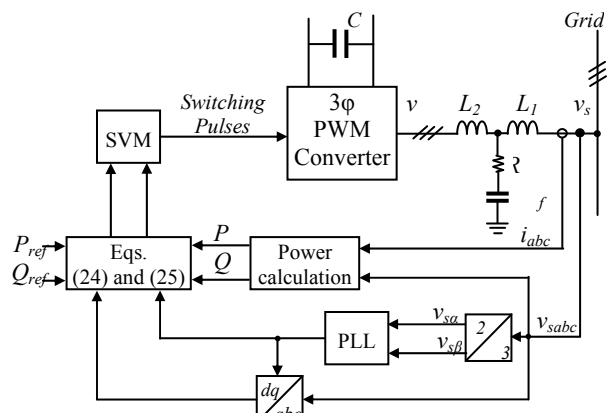
$$i_{2q}(k+1) = \frac{T_{sp}}{L_2} [-R_2 i_{2q}(k) + v_{cq}(k) - v_q(k)] - T_{sp} \omega i_{2d}(k) + i_{2q}(k) \quad (15)$$

توان‌های اکتیو و راکتیو در قاب مرجع dq برابرند با:

$$P(k+1) = v_{sd}(k+1)i_{1d}(k+1) + v_{sq}(k+1)i_{1q}(k+1) \quad (16)$$

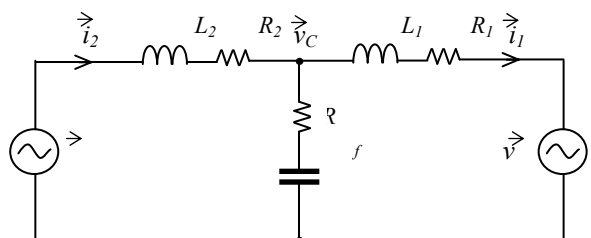
$$Q(k+1) = v_{sq}(k+1)i_{1d}(k+1) - v_{sd}(k+1)i_{1q}(k+1) \quad (17)$$

فرض می‌کنیم:  $L_2=L$ ،  $R_2=R_1=R$ . بعلاوه فرض می‌شود که اندازه ولتاژ منبع در طول یک پریود بسیار کوچک نمونه برداری ثابت مانده و با کمک PLL، سیستم کنترل با منبع ولتاژ AC سنتکرون می‌گردد؛ یعنی  $v_{sq}(k+1)=v_{sq}(k)=0$ ،  $v_{sd}(k+1)=v_{sd}(k)$ . همچنین هدف از سیستم کنترل این است



شکل (۱) مبدل PWM با فیلتر خروجی LCL

به منظور بدست آوردن روابط روش کنترلی پیشنهادی، مدار معادل مبدل متصل به شبکه از طریق فیلتر LCL در شکل (۲) آورده شده است.



شکل (۲) مدار معادل مبدل PWM با فیلتر خروجی LCL

با صرفنظر از افت ولتاژ ناچیز بر روی  $R_f$  سیستم فوق توسط معادلات دیفرانسیل زیر، در قاب مرجع ساکن، مدل می‌شود:

$$\frac{d}{dt} \vec{i}_{1abc} = \frac{1}{L_1} [-R_1 \vec{i}_{1abc} + \vec{v}_{sabc} - \vec{v}_{cabc}] \quad (1)$$

$$\frac{d}{dt} \vec{v}_{cabc} = \frac{1}{C} [\vec{i}_{1abc} - \vec{i}_{2abc}] \quad (2)$$

$$\frac{d}{dt} \vec{i}_{2abc} = \frac{1}{L_2} [-R_2 \vec{i}_{2abc} + \vec{v}_{cabc} - \vec{v}_{abc}] \quad (3)$$

اگر  $\omega$  به عنوان سرعت زاویه‌ای منبع ولتاژ AC در نظر گرفته شود معادلات (۱) تا (۳) در قاب مرجع دوار سنتکرون (dq) بصورت زیر در می‌آیند:

$$\frac{d}{dt} i_{1d} - \omega i_{1q} = \frac{1}{L_1} [-R_1 i_{1d} + v_{sd} - v_{cd}] \quad (4)$$

$$\frac{d}{dt} i_{1q} + \omega i_{1d} = \frac{1}{L_1} [-R_1 i_{1q} + v_{sq} - v_{cq}] \quad (5)$$

## بیست و پنجمین کنفرانس بین‌المللی برق

مقادیر مرجع و اندازه گیری شده توان‌های اکتیو و راکتیو، پارامترهای سیستم و ولتاژ اندازه گیری شده منبع تغذیه AC کنترل شوند.

سیگنانلهای آتش مبدل PWM بر اساس این مقادیر مرجع ولتاژ مبدل تعیین می‌گردد. در روش پیشنهادی، مدولاتور ولتاژ دارای دینامیک غالب بوده و کنترلر می‌تواند تقریباً به حداقل پاسخ دینامیکی سیستم برسد. از آنجائیکه در روش DPC پیشنهادی بر خلاف روش DPC کلاسیک، که عموماً کنترل مستقیم توان بر پایه جدول کلیدزنی<sup>۱</sup> نامیده می‌شود، کنترلرهای هیسترزیس حذف شده اند لذا از مشکلات بهره بالای آنها اجتناب شده است. به عنوان مثال، حساسیت کنترل نسبت به ریپل‌های جریان AC به حداقل رسیده و در نتیجه فرکانسهای کلیدزنی و نمونه برداری می‌توانند کمتر باشند. بعلاوه در DPC پیشنهادی سیگنانلهای آتش کلیدها توسط مدولاتور PWM به جای رگولاتورهای هیسترزیس تولید می‌گردد، لذا فرکانس کلیدزنی ثابت بوده و نسبت به حالت کلاسیک مقدار کوچکی می‌باشد، همچنین روش‌های DPC مدولاسیون پیشرفت‌به منظور دستیابی به تلفات کمتر و عملکرد هارمونیکی بهتر قابل استفاده می‌باشند. افزون بر موارد فوق استراتژی کنترل DPC پیشنهادی برای مبدل‌های سه LCL فاز با فیلتر خروجی توسعه یافته است. یک فیلتر مرتبه بالا در مقایسه با یک فیلتر سلفی ساده، اعوجاج هارمونیکی بسیار کمتری را در فرکانس‌های کلیدزنی پائین تر با مقدار اندوکتانس کل کمتر امکان پذیر می‌نماید.

### ۳- ارزیابی عملکرد

به منظور تایید کارایی سیستم پیشنهادی شبیه سازی هایی با استفاده از نرم افزار MATLAB/Simulink انجام پذیرفته است. تنظیم توان، شکل دهی جریان و محتواهای هارمونیکی روش DPC پیشنهادی با فیلتر خروجی LCL با مقادیر مشابه روش DPC متداول مبتنی بر جدول کلیدزنی ارائه شده در [۲] و روش DPC پیشنهادی با فیلتر خروجی سلفی در مرجع

که توانهای اکتیو و راکتیو اندازه گیری شده در لحظه  $(k+I)$  با توانهای اکتیو و راکتیو مرجع در لحظه  $(k)$  برابر گرددند. لذا با این فرضیات و جایگزینی معادلات (۱۰) و (۱۱) در (۱۶) و (۱۷) خواهیم داشت:

$$\begin{aligned} P_{ref}(k) = & P(k+1) = \frac{T_{sp}}{L} \left[ v_{sd}^2(k) - v_{sd}(k)v_{cd}(k) \right] \\ & + P(k) - T_{sp}\omega Q(k) \end{aligned} \quad (۱۸)$$

$$\begin{aligned} Q_{ref}(k) = & Q(k+1) = \frac{T_{sp}}{L} v_{sd}(k)v_{cq}(k) \\ & + Q(k) + T_{sp}\omega P(k) \end{aligned} \quad (۱۹)$$

با فرض فیلتر ایده آل، تغییرات  $i_2$  و  $v_C$  در طی پریود کوتاه نمونه برداری قابل صرفنظر کردن خواهد بود؛  $v_{cq}(k+1) = v_{cq}(k)$ ،  $v_{cd}(k+1) = v_{cd}(k)$ ،  $i_{2q}(k+1) = i_{2q}(k)$ ،  $i_{2d}(k+1) = i_{2d}(k)$  اعمال این فرضیات ساده کننده به معادلات (۱۲) تا (۱۵) منجر به معادلات ساده شده زیر می‌گردد:

$$v_{cq}(k) = -\frac{1}{C\omega} [i_{1d}(k) - i_{2d}(k)] \quad (۲۰)$$

$$v_{cd}(k) = \frac{1}{C\omega} [i_{1q}(k) - i_{2q}(k)] \quad (۲۱)$$

$$v_{cd}(k) = -aL\omega i_{2q}(k) + v_d(k) \quad (۲۲)$$

$$v_{cq}(k) = aL\omega i_{2d}(k) + v_q(k) \quad (۲۳)$$

معادلات (۲۰) تا (۲۳) را می‌توان را برای ولتاژ خازن حل نموده و حاصل را در معادلات (۱۸) و (۱۹) جایگزین نمود که با مرتب سازی آنها برای  $v_d$  و  $v_q$  داریم:

$$\begin{aligned} v_d(k) = & \frac{L(1-aLC\omega^2)}{T_{sp}v_{sd}(k)} [-P_{ref}(k) + P(k) - T_{sp}\omega Q(k)] \\ & + \frac{L(1-aLC\omega^2)v_{sd}(k)}{T_{sp}} - \frac{aL\omega Q(k)}{v_{sd}(k)} \end{aligned} \quad (۲۴)$$

$$v_q(k) = \frac{L(1-aLC\omega^2)}{T_{sp}v_{sd}(k)} [Q_{ref}(k) - Q(k) - T_{sp}\omega P(k)]$$

$$-\frac{aL\omega P(k)}{v_{sd}(k)} \quad (۲۵)$$

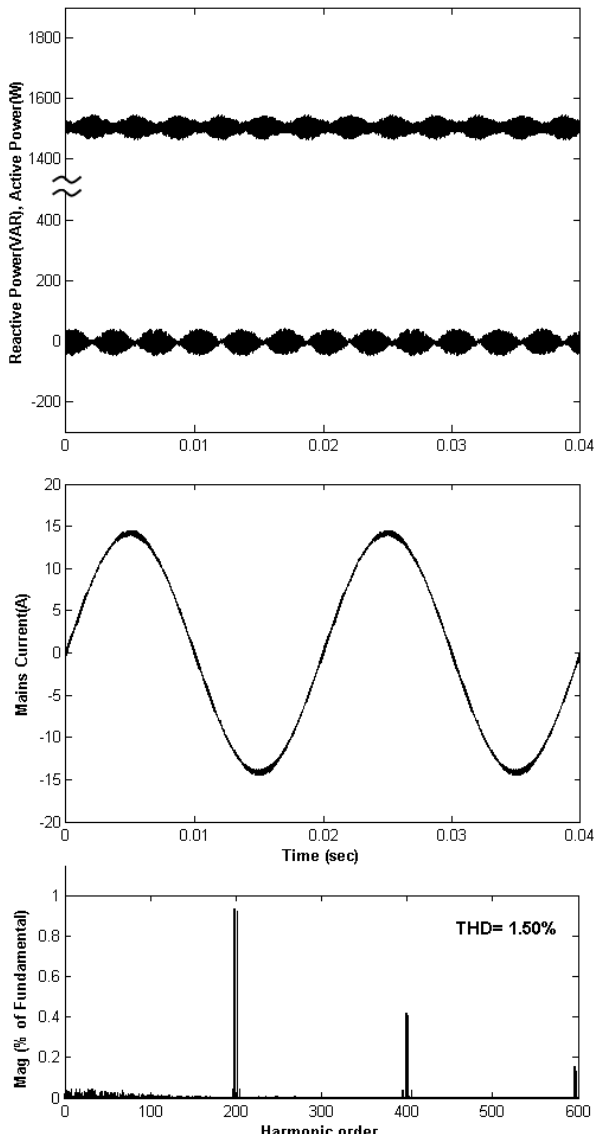
معادلات فوق اجزای  $v_d$  و  $v_q$  در قاب مرجع دوار بوده  $dq$  که شرایط کنترلی  $(P_{ref}(k) = P(k+I), Q_{ref}(k) = Q(k+I))$  را برآورده می‌سازند. معادلات (۲۴) و (۲۵) نشان می‌دهند که اجزای  $dq$  و ولتاژ مبدل می‌توانند بطور مستقیم و با توجه به

1. Switching Table Based DPC

## بیست و پنجمین کنفرانس بین‌المللی برق

سه سیستم تحت مطالعه در شکل‌های (۳)، (۴) و (۵) نشان داده شده اند.

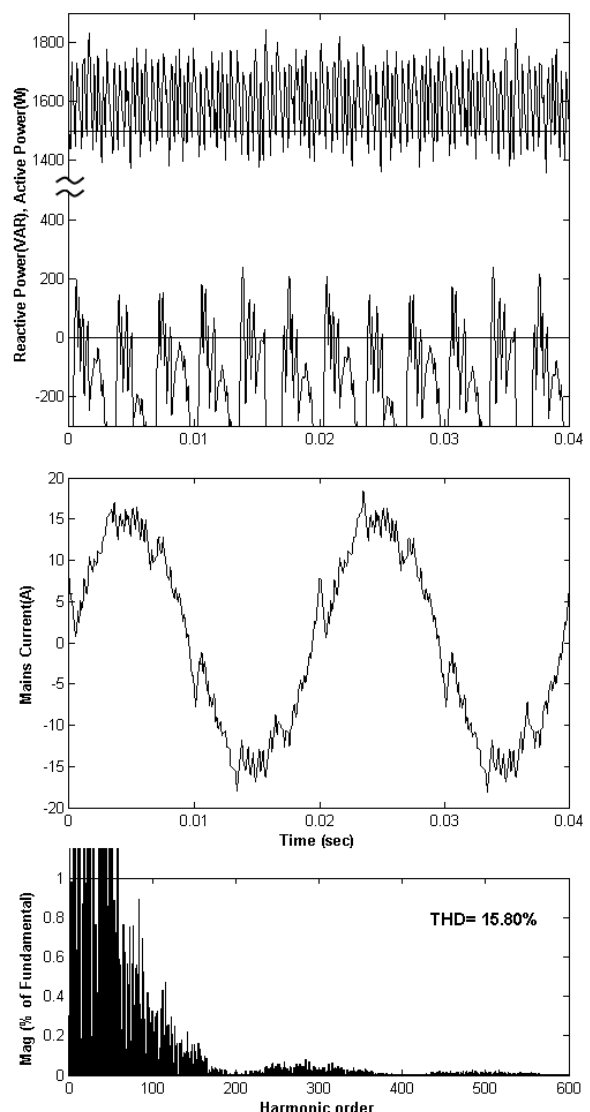
شکل (۳) بطور آشکار نشان می‌دهد که روش DPC متداول با مقادیر ذکر شده فرکانس نمونه برداری (۱۰ kHz) و اندوکتانس فیلتر (۲.۵ mH) نمی‌تواند عملکرد قابل قبولی ارائه نماید. در حقیقت DPC مبتنی بر جدول کلیدزنی تنها در شرایط فرکانس نمونه برداری و اندوکتانس فیلتر بزرگ می‌تواند عملکرد مناسبی داشته باشد که عموماً این شرایط در کاربردهای توان بالا امکان پذیر نمی‌باشد.



شکل (۴) نتایج شبیه سازی برای DPC پیشنهادی

[۱۲] (L=2.5 mH)

[۱۲] مقایسه شده است. مشخصات سیستم برای کلیه حالات مطالعه یکسان بوده و اندوکتانس کل فیلتر ۲.۵ mH انتخاب شده است. فرکانس نمونه برداری و کلیدزنی ۱۰ kHz انتخاب شده اند. فیلتر LCL از طریق یک فرایند گام به گام متداول طراحی می‌گردد؛ در این روش ریپل جریان AC و بطور همزمان توان راکتیو خازن حداقل شده، بعلاوه حاشیه پایداری کافی و تضعیف مناسب پدیده رزنانس فراهم می‌گردد [۷-۹].



شکل (۳) نتایج شبیه سازی برای

[۲] (L=2.5 mH)

پارامترهای فیلتر بصورت  $L_2 = 1.6 \text{ mH}$ ,  $C_f = 0.9 \text{ mH}$  و  $R_f = 4\Omega$  و  $C_f = 60 \mu\text{F}$  انتخاب شده‌اند. نتایج شبیه‌سازی برای

## بیست و پنجمین کنفرانس بین‌المللی برق

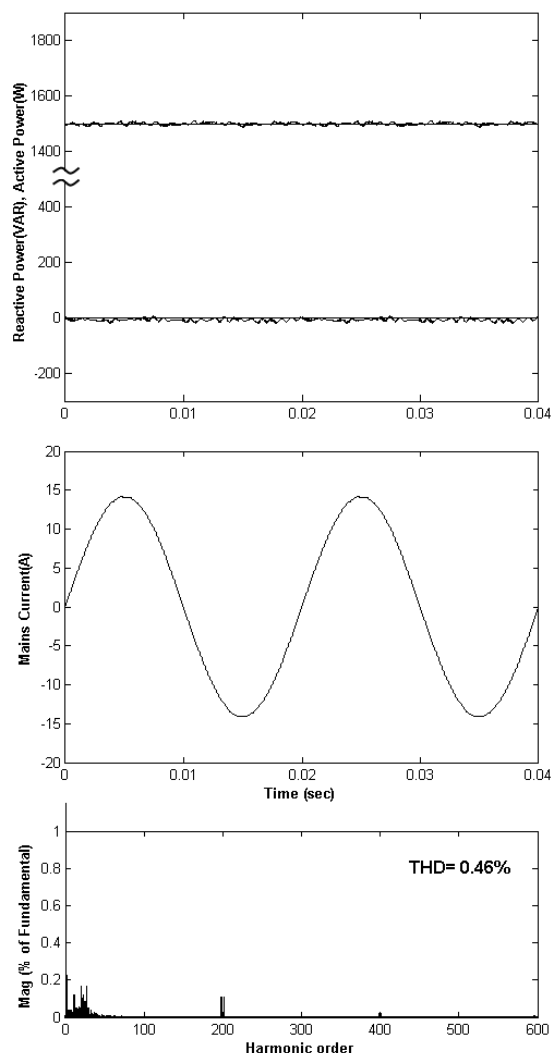
از سوی دیگر، مقادیر اعوجاج هارمونیکی کل (THD) در شکل‌های (۴) و (۵) اثبات می‌نماید که عملکرد هارمونیکی فیلتر مرتبه سوم LCL به جای فیلتر سلفی ساده در شرایط مقادیر یکسان اندوکتانس کل و فرکانس نمونه برداری و کلیدزنی، بسیار مناسب‌تر می‌باشد.

### ۴- نتیجه گیری

یک استراتژی جدید مبتنی بر مدل به منظور کنترل مستقیم توان مبدل‌های مدولاسیون عرض پالس سه فاز که از طریق یک فیلتر LCL به شبکه متصل می‌گردد، پیشنهاد شده است. در کنار بکارگیری فیلتر LCL به جای فیلتر سلفی و سادگی، شبیه‌سازی‌ها عملکرد بهتر روش پیشنهادی را در مقایسه با کلاسیک مبتنی بر جدول کلیدزنی تایید می‌نماید.

### مراجع:

- [1] S. Buso, and P. Mattavelli, "Digital Control in Power Electronics", Morgan & Claypool, USA, 2006.
- [2] T. Noguchi, H. Tomiki, S. Kondo, and I. Takahashi, "Direct power control of PWM converter without power-source voltage sensors," *IEEE Trans. Industry Applications*, vol. 34, no. 4, pp. 473-479, 1998.
- [3] M. Malinowski, M. Jasinski, and M. P. Kazmierkowski, "Simple direct power control of three-phase PWM rectifier using space-vector modulation (DPC-SVM)," *IEEE Trans. Industrial Electronics*, vol. 51, no. 2, pp. 447-454, 2004.
- [4] P. Cortes, J. Rodriguez, P. Antoniewicz, and M. Kazmierkowski, "Direct power control of an AFE using predictive control," *IEEE Trans. Power Electronics*, vol. 23, no. 5, pp. 2516-2523, 2008.
- [5] J. Restrepo, J. C. Viola, J. M. Aller, and A. Bueno, "Algorithm evaluation for the optimal selection of the space vector voltage using DPC in power systems," in *Proc. European Conf. Power Electronics and Applications*, pp. 1-9, 2007.
- [6] A. Bouafia, F. Krim, and J. P. Gaubert, "Design and implementation of high performance direct power control of three-phase PWM rectifier, via fuzzy and PI controller for output voltage regulation," *Energy Conversion and Management*, vol. 50, no. 1, pp. 6-13, 2009.
- [7] T. C. Wang, Z. Ye, G. Sinha, and X. Yuan, "Output filter design for a grid-interconnected three-phase inverter," in *Proc. 34th Annu. IEEE Conf. Power Electronics Specialists*, pp. 779-784, 2003.
- [8] S. V. Araujo, A. Engler, and F. L. M. Antunes, "LCL filter design for grid-connected NPC inverters in offshore wind turbines," in *Proc. 7th Int. Conf. Power Electronics*, Daegu, pp. 1133-1138, 2007.



شکل (۵) نتایج شبیه‌سازی برای DPC پیشنهادی با فیلتر (L1+L2=2.5 mH) LCL

شکل (۵) که عملکرد روش DPC پیشنهادی با فیلتر خروجی LCL را نشان می‌دهد، برتری این روش را در کنترل دقیق‌تر جریان با حداقل اعوجاج و نویز هارمونیکی (THD)، همزمان با رگولاسیون دقیق‌تر و اعوجاج کمتر در توانهای اکتیو و راکتیو خروجی تایید می‌نماید. طیف هارمونیکی جریان‌های AC نیز در شکل‌های (۳) تا (۵) نمایش داده شده است. از شکل (۳) ملاحظه می‌گردد که روش کلاسیک، دارای طیف هارمونیکی وسیعی بوده که در محدوده گسترده‌ای از فرکانس‌های پائین گسترش یافته است. به علت وجود این هارمونیکهای فرکانس پائین، طراحی فیلتر LCL برای جلوگیری از رزونانس، عملاً غیر ممکن می‌باشد.

بیست و پنجمین کنفرانس بین‌المللی برق

- [9] B. C. Parikhith, and J. Vinod, "Higher order output filter design for grid connected power converters," in *Proc. 15th National Conf. Power Systems*, Bombay, pp. 614-619, 2008.
- [10] E. Wu, and P. W. Lehn, "Digital current control of a voltage source converter with active damping of LCL resonance," *IEEE Trans. Power Electronics*, vol. 21, no. 5, pp. 1364-1373, Sep. 2006.
- [11] S. Y. Yang, X. Zhang, C. W. Zhang, and Z. Xie, "Study on active damping methods for voltage source converter with LCL input filter," in *Proc. 6th IEEE Int. Conf. Power Electronics and Motion Control*, pp. 975-979, 2009.
- [12] M. Monfared, H. Rastegar, and H. M. Kojabadi, "High performance DPC for PWM converters," in *Proc. 6th Int. Conf. Electrical and Electronics Engineering*, Bursa, 2009.